УДК 549.313

МИНЕРАЛОГИЯ

Г. Н. НЕЧЕЛЮСТОВ, А. С. АВДОНИН, Е. Б. ХАЛЕЗ<mark>ОВА</mark>

О ПЕРВОЙ НАХОДКЕ ХЕДЛИИТА В СССР

(Представлено академиком Н. В. Беловым 7 IV 1972)

Хедлинт — редкий и недостаточно изученный теллурид висмута — впервые в качестве самостоятельного минерального вида был установлен Х. В. Уорреном и М. А. Пикоком (1) в месторождении Гуд-Хоуп (Британская Колумбия). В результате исследования синтетических образцов, стехиометрический состав которых отвечал хедлииту, эти авторы пришли к выводу, что хедлиит является нестабильным твердым раствором Ві в Ві₂Те₃. Позднее к тому же выводу пришел Р. М. Томпсон (2). Экспериментальными работами Н. X. Абрикосова и В. Ф. Банкиной (3) в системе Ві — Те было установлено наличие четырех фаз, одна из которых имела состав Ві14Те, аналогичный природному минералу хедлииту. Однако диагностика выделенных фаз была обоснована недостаточно надежно, так как отсутствовали минераграфические и рентгеновские исследования. Попытка синтезировать хедлиит А. А. Годовиковым и др. (4) не увенчалась успехом. Полученное ими соединение состава ВізТез, несмотря на сходство по рентгенограмме с природным хедлиитом, значительно отличалось от последнего как химическим составом, так и плотностью. В то же время Т. Л. Рихтер (5) было экспериментально получено соединение, и по химическому составу, и по рентгенограмме аналогичное хедлииту.

Таким образом, вопрос о самостоятельности хедлиита из-за отсутствия детальных минералогических исследований на природном материале и

противоречивости экспериментальных данных остается открытым.

Минерал, отвечающий по составу и рентгенограмме хедлииту из Гуд-Хоуп, был установлен нами в рудах скарново-шеелитовых месторождений Угат (Западный Узбекистан) и Восток-2 (Приморье). Хедлиит на указанных месторождениях встречается в сульфидных линзообразных телах, залегающих среди пироксеновых или пироксен-гранатовых скарнов. Эти тела сложены преимущественно пирротином и кварцем с подчиненым количеством пирита, халькопирита, шеелита и висмутовых минералов; последние представлены (в порядке распространенности) самородным висмутом, висмутином, хедлиитом и жозеитом В. Выделения хедлиита большей частью наблюдаются в тесной ассоциации с самородным висмутом. Оба эти минерала образуют небольшие гнездообразные скопления размером до 3—5 мм и концентрируются преимущественно в тех участках сульфидных тел, где паиболее интенсивно проявилось окварцевание.

Макроскопически хедлиит серебристо-белый, с сильным металлическим блеском. Спайность весьма совершенная по (0001). Спайные пластинки

Таблица 1

Плоскость измерения	Число измерений	Твердость, кг/мм²	Коэффиц. анизо- тропии тверд. I рода	Харантер отпечатка				
(0001) Сечения в зоне [0001]	8	48,9—53,7 (51,7) 47,4—79,4 (64,6)	1,05	Квадратный; стороны слабо выпуклы или вогнуты Ромбический, вытянутый по направлению спайности				

гибкие, но не эластичные. Твердость хедлинта по микровдавливанию определялась на приборе ПМТ-3 Н. В. Никитиной в сечениях, близких к зоне Таблица 2 [0001] и (0001). Результаты ее измере-

Параметры элементарных субъячеек хетлиита

22.0 92.11.11.11									
Параметр	Восток-2	Угат	Гуд-Хоуп						
c _h , Å a _h , Å a _{rh} , Å	5,96 4,47 3,26 86°40'	5,92 4,47 3,27 86°46′	5,94 4,46 3,25 86°42°						

пия приведены в табл. 1. В отраженном свете хедлиит белый, с нежным розовым оттенком. Сечения по базису изотроины, параллельные оси c — отчетливо анизотропные без цветно-

с — отчетливо анизотропные без цветного эффекта. Двуотражения в воздухе п в иммерсии не наблюдается. Твердость минерала низкая; по относительному рельефу он очень близок к самородному

висмуту (рис. 1A).

Замеры отражательной способности хедлиита по спектру проводились на приборе ПООС-1 дали следующие значения:

440 460 480 500 520 540 560 580 600 620 640 660

R_{max} 60,3 61,1 62,1 63,0 63,9 64,6 65,2 65,6 65,9 66,0 66,2 66,2 R_{min} 56,5 57,5 58,4 59,0 59,5 60,0 60,3 60,7 61,0 61,3 61,4 61,0

Диагностическое травление различно ориентированных зерен хедлиита показало: с HNO_3 (1:1) вскипает и становится серым, с $FeCl_3$ (20%) быстро образуется черный налет, HCl (1:1) и KOH (20%) не действуют.

Рентгенографическое исследование хедлиита из месторождения Восток-2 проводилось в камере РКУ-114 (λ -Fe), а хедлиита из месторождения Угат — в камере РКД-57,3 (λ -Cu K_{α}). Материал для рентгеновского исследования отбирался по методу Химстре (6) из участка, подвергшегося анализу. Параметры гексагональной элементарной ячейки были определены по рентгенограмме порошка. Индицирование проводилось по аналогии с литературными данными (4). Параметр c_h определялся по отражениям типа 000l, а параметр a_h — по отражениям типа h0h0. Хорошая сходимость экспериментальных и вычисленных значений d подтверждает правильность определения параметров; наблюдается некоторое различие параметра c_h у образцов хедлиита из разных месторождений (табл. 2).

Как будет показано ниже, параметр c, приведенный в табл. 2, оказался параметром субъячейки. Попытка произвести индицирование на основе полученных параметров привела к тому, что проиндицировались все отражения хедлиита за исключением отражений с межплоскостными расстояниями 4,34 и 2,11 Å. Последние могут быть проиндицированы на основе увеличенного параметра c в 20 раз в гексагональной ячейке (¹), что подтверждается и расчетом формул химического анализа. Таким образом, истинные параметры хедлиита будут $a_h = 4,47$, $c_h = 119,2$ (для месторожде-

ния Восток-2), $a_h = 4,47$, $c_h = 118,4$ (для месторождения Угат). Сопоставление межплоскостных расстояний хедлинта с межплоскостными расстояниями других теллуридов висмута показывает, что хедлиит по дифракционной картине очень близок к верлиту (табл. 3). Отличие заключается лишь в присутствии на рентгенограмме хедлиита двух слабых линий, о которых упоминалось выше. Однако наличие этих линий в хед-

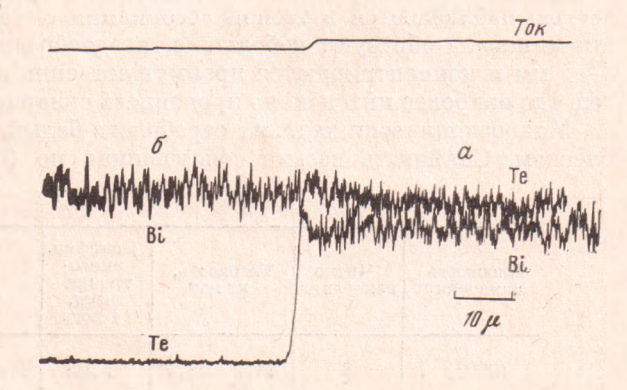


Рис. 2. Концентрационные кривые Ві L_{α} , Те L_{α} для линии, показанной на рис. 1, пересекающей хедлиит (a) и самородный висмут (b)

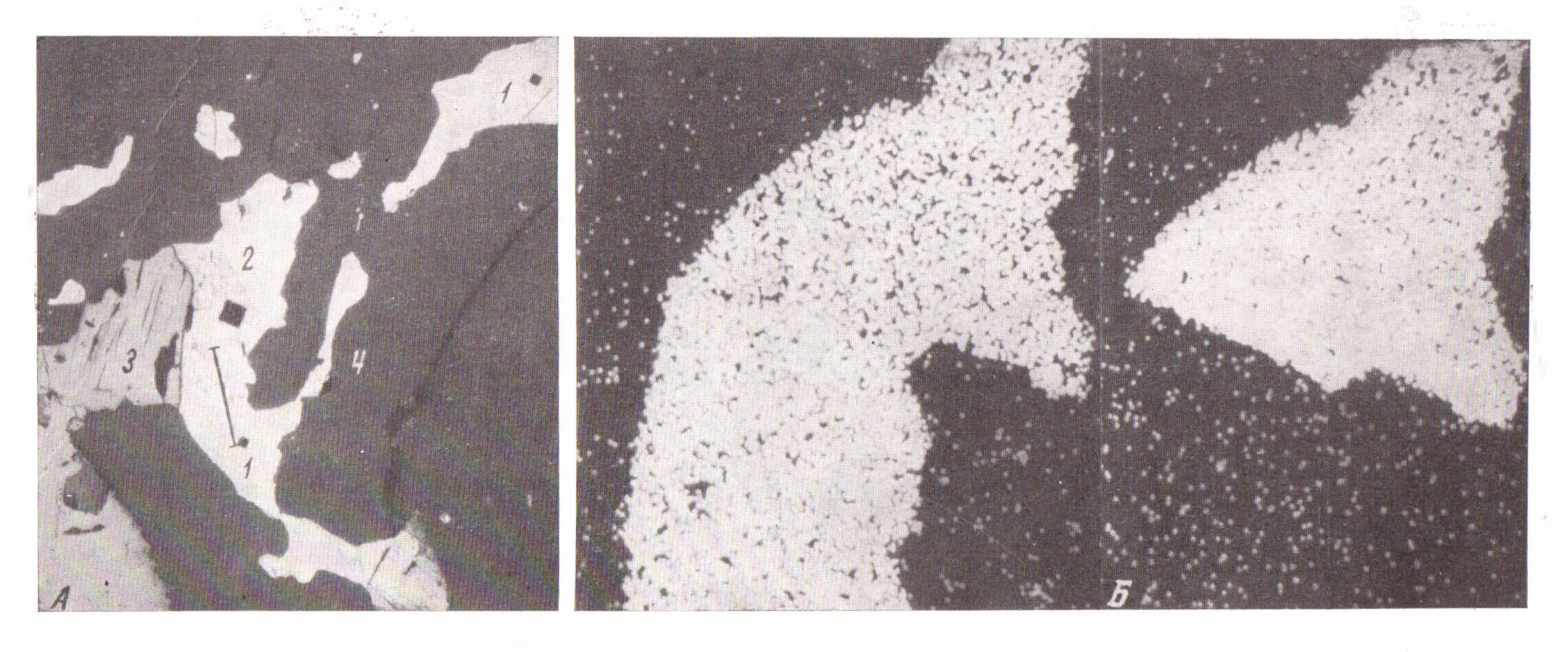


Рис. 1. A — сросток хедлиита (1) с самородным висмутом (2) в асс оциации с халькопиритом (3) в кальците (4): видны пеодинаковые отпечатки призмы микротвердометра при одной и той же нагрузке; месторождение Восток-2, аншлиф; $150 \times$. B — растровые картины распределения минералообразующих элементов хедлиита; изображения в характеристическом рентгеновском излучении Ві L_{α} (спева) и Те L_{α} (справа); $600 \times$



Рис. 2. Сечение раковины беззамковой брахиоподы с хорошо сохранившейся внутренней скульптурой. В нижнем правом углу предположительно поперечное сечение хиолита. Шлиф. Без анализатора. $60\times$

лиите, как показали рентгеноструктурные исследования Пикока и как подтверждено нами, связано не с механическим засорением анализиру-

емого материала, а с проявлением сверхструктуры.

Химический состав хедлиита и характер распределения в нем основных элементов изучались на рентгеновском микроанализаторе типа ЈХА-ЗА. Расчет концентрации элементов производился пометоду гипотетического состава с введением поправок на поглощение и атомный номер по В. А. Батырову и В. И. Рыднику (7). В качестве эталонов использовались для висмута — металлический висмут и для теллура — синтетическое соединение NiTe с солержанием Те 79%.

Измерение интенсивности для каждого из элементов проводилось в 4—5 точках одного зерна минерала в 3 зернах одновременно на двух спектрометрах, причем точки для измерения покрывали почти всю площадь зерна, за исключением граничных участков. Разброс значений интенсивности в различных точках определялся исключительно погрешностью измерения, которая составляла около 0,3—0,5%, что дает возможность судить в пределах разрешения метода (в данном случае меньше микрона) об исключительной однородности минерала и, тем более, об отсутствии механических включений.

Измерение интенсивности одновременно на двух спектрометрах не только увеличивает надежность полученных результатов, но и позволяет контролировать качество полировки образца и его установку в держателе.

Результаты рентгеноспектрального анализа хедлиита и расчет его химической формулы приведены в табл. 4.

Таблица 3 Межплоскостные расстояния хедлиита и верлита

	Хедлиит										
№№ п.п.	Восток-2					Ż]	Гуд-Хоуп	Верлит		
	hkil	I	d _{M3M} , Å	d _{выч} , Å	I	d _{u3M} Å	d выч, A	I	d, Å	I	d, Å
1 2 3 4 5 6 7 8 9 10 11 12 13 14	0.0.0.27 0.1.1.20 0.1.1.40 1.1.2.0 1.0.1.47 0.0.0.60 0.2.2.20 0.2.2.40 1.1.2.60 2.1.3.20 1.0.1.80 2.1.3.40 3.0.3.0 3.0.3.60	1 10 6 4 1 3 2 5 5 3 2 2 1 2	4,34 3,24 2,36 2,23 2,11 1,986 1,840 1,625 1,486 1,423 1,391 1,314 1,290 1,084	4,41 3,25 2,36 2,23 2,12 1,986 1,841 1,623 1,485 1,421 1,391 1,314 1,290 1,082	1 10 5 5 2 1 4 3 3 1 2 1	4,36 3,25 2,34 2,23 2,10 1,974 1,835 1,617 1,419 1,419 1,393 1,309 1,291 1,080	4,38 3,24 2,36 2,23 2,11 1,974 1,840 1,621 1,480 1,421 1,394 1,312 1,291 1,080	1 10 5 4 1 3 3 4 4 3 2 2 1	4,38 3,25 2,36 2,23 2,11 1,984 1,840 1,621 1,480 1,419 1,389 1,388 1,288	10 7 5 3 3 3 4 2 1	3,22 2,36 2,21 1,992 1,819 1,606 1,484 1,402 1,301 1,275 1,180

Эле- мент	Восток-2			Угат			Гуд-Хоуп					
	<u> </u>	анали	13 f	анализ 2			анализ 3			анализ 4		
	Bec. %	атомн. колич.	число атомов в ячей- ке	Béc. %	атомн. колич.	число атомов в ячея- ке	вес. %	атомн. колич.	число атомов в ячей- ке	вес. %	атомн. колич.	число атомов в ячей- ке
Bi Sh	81,3 Не оби.	0,389	14,22	80,5 Не обн. »	0,385	14,34	80,60 Не анал. »	0,3857	14,43	81,55 Не анал. »	0,3902	14,74
Ag Te	19,2	0,150	5,48	18,8	0,147	5,47	18,52	0,1451	5,43	17,60	0,1379	5,21
Se	0,6	0,008	0,30	0.4	0,005	0.19	Не анал.			Не анал.	V all	-1023
S	Не обн.			Не обн.			0,12	0,0037	0,14	0,04	0,0012	0,05
Сумма	101,1			99,7		12	99,24			99,19		
Форму- ла	Bi _{7,11} (Te _{2,74} Se ₀₊₁₅) _{21;9}			Bi _{7,1} (Te _{2,74} Se _{0,09}) _{2,83}			Bi _{7,22} (Te _{2,72} S _{0,07}) _{2,79}			Bi _{7,3} (Te _{2,61} S _{0,02}) _{2,63}		

Исходя из экспериментально установленного количества атомов в ячейке хедлиита (¹), расчет химических формул проводился методом определения количества атомов каждого сорта в ромбоэдрической ячейке. Пересчет анализов этим методом привел к формуле хедлиита, близкой к $\mathrm{Bi}_7\mathrm{Te}_3$, т. е. к той же, что была предложена ранее Х. В. Уорреном и Пикоком (¹). Как видно, во всех случаях, по сравнению с теоретической формулой хедлиита, наблюдается избыток Ві и дефицит Те. Некоторое отклонение от стехиометрии в вышеприведенных формулах, по-видимому, объясняется частичным изоморфизмом между Ві и Те. В этом случае брутто-формулу хедлиита, по аналогии с жозеитом и верлитом, можно представить как $\mathrm{Bi}_{7+x}\mathrm{Te}_{3-x}$.

А. А. Годовиков и др. (*), считая существующую формулу хедлиита недостаточно достоверной, высказали предположение, что отклонение в химическом анализе природного хедлиита от синтезированного ими соединения состава $\mathrm{Bi}_5\mathrm{Te}_3$ могло произойти за счет механического засорения природного материала тонкозернистым самородным висмутом. Учитывая все это, мы проверили гомогенность исследованных образцов хедлиита методом линейного и площадного сканирования на рентгеновском микроанализаторе JXA-3A. На рис. 2 показано изменение интенсивности рентгеновского излучения $\mathrm{BiL}_{\alpha^{1/2}}$ и TeL_{α} при линейном сканировании образца в зерне минерала и самородном висмуте. Изучение площадного распределения висмута и теллура в характеристическом рентгеновском излучении также подтверждает однородность исследованного минерала (см. рис. 1 \mathcal{E}).

Таким образом, проведенные исследования подтверждают правомерность выделения хедлиита в качестве самостоятельного минерального вида.

Институт минералогии, геохимии и кристаллохимии редких элементов Всесоюзный научно-исследовательский институт минерального сырья Москва

Поступило 6 IV 1972

ЦИТИРОВАННАЯ ЛИТЕРАТУРА

¹ H. V. Warren, M. A. Peacock, Univ. Toronto Stud., Geol. Ser., 49, (1945).
² R. M. Thompson, Am. Mineral., 34, № 5—6 (1949).
³ H. X. Абрикосов, В. Ф. Банкина, ЖНХ, 3, в. 3 (1958).
⁴ A. А. Годовиков, Ж. Н. Федорова, В. И. Богданова, ДАН, 169, № 4 (1966).
⁵ Т. Л. Рихтер, Сборн. Экспериментальные исследования в области минералогии и геохимии редких элементов, «Наука», 1967.
⁶ S. А. Ніемstra, Ам. Міneral., 41, № 5—6 (1956).
⁷ В. А. Батыров, В. И. Рыдник, Зав. лаб., № 6 (1970).